

日本北部における地磁気日変化 (鉛直成分)の異常について

国 土 地 理 院 水 野 浩 雄

水沢の地磁気変化計記録をみて気がつくことは、Zの日変化の振巾がたいへんに小さいことである。Table 1には、鹿屋、柿岡、水沢、女満別の各観測所における、1971年から1975年の各年について、国際静穏日における日変化の range の平均値 R が示されている。(時間平均値の最大値と最小値の差を range とした。) 各観測所の R を比べてみると、Dip Latitude (D. Lat.) が高くなるにつれて、R は減少するが、特に注目されるのは、柿岡と水沢の間でその減少の度合がきわだっていることである。太陽活動度の変動にしたがって R は経年に変化してゆく。しかし、柿岡の R で他の観測所の R を割った量を d とすると、この d は各観測所についてほぼ安定した値を示す。この d によると、柿岡と水沢の間では Dip Latitude がわずか $2^{\circ}7$ しかちがわないにもかかわらず、Zの日変化の range は 3割内外も減少することが判る。鹿屋から女満別に至る間では Dip Latitude は 10° 余りの差であるが、range は半分以下となっている。

	KY	KA	MZ	MT				
D. Lat.	26.0	30.1	32.8	37.4				
	R	d	R	d	R	d		
1971	25	1.14	22	1.00	16	0.73	12	0.55
72	26	1.13	23	1.00	15	0.65	12	0.52
73	24	1.09	22	1.00	15	0.68	9	0.41
74	23	1.15	20	1.00	13	0.65	10	0.50
75	20	1.18	17	1.00	12	0.71	9	0.53
Mean		1.14		1.00		0.68		0.50

Table 1 Range of Sq of the vertical component

このことは日変化の Fourier 係数をとっても確認される。Table 2は上記の観測所について、年間平均の Z の静穏日日変化の Fourier 展開をおこない, $m = 1$ から 4 までについて振巾を柿岡を 1.00 として示したものである。

1972年と74年の結果を比べてみて、こうして求められた relative amplitude が、

かなり安定した値を与えていることがみとめられよう。Table 1と同様の傾向があらわれているが、特に semi-diurnal の項 ($m=2$) 及び $m=3$ において、柿岡から水沢、女満別に至る間の振幅の減少がいちぢるしい。また鹿屋においては diurnal term は柿岡よりも 3 割も大きいのに、その他の項は柿岡より小さいことも注目される。

これらのこととは、日本における Sq の特異な分布を思わせ、世界各地の Sq のデータができるだけ多く集めて検討する必要を感じさせる。現在迄に集められたものは未だ少数であるが、Table 3 に R と d がまとめてある。データはすべて 1972 年のものである。1972 年という年次を選んだのは、水沢のデータが利用できる年で、かつ、なるべく太陽活動が活潑な時期に近いことを考えてのことである。

Zone 1, Zone 2, Zone 3 の
区別は、Matsushita and
Maeda の論文(1)にならった。すな
わち Zone 1 は Europe and
Africa Zone, Zone 2 は
Asia and Australia
Zone, Zone 3 は North
and South America
Zone である。

これを図示したのが Fig. 1 で
ある。図上できまず指摘したいのは
鹿屋、下里、鹿野山、柿岡、水沢
女満別の列で、Dip Latitude
が高くなるにしたがって、relative
range が急減している。更に日本
北部周辺にある観測として

Vladivostok, Sakhalinsk
は、ほぼ女満別と同程度の d であり
更にその外側に位置する Irkutsk,

Yakutsk は、やや d が小さめになる。一方日本の南方の観測所のデータとしては Guam が
示されている。この系列の観測所は特に○印で画かれている。Zone 1 及び Zone 3 の観測所
のデータの収集は未だ数少ないであるが、・印で示されている。

	KY	KA	MZ	MT
$m=1$				
1972	1.31	1.00	0.81	0.65
74	1.27	1.00	0.77	0.50
Mean	1.29	1.00	0.79	0.58
$m=2$				
1972	0.99	1.00	0.65	0.50
74	0.99	1.00	0.63	0.51
Mean	0.99	1.00	0.64	0.50
$m=3$				
1972	0.92	1.00	0.57	0.49
74	0.90	1.00	0.49	0.41
Mean	0.91	1.00	0.53	0.45
$m=4$				
1972	0.97	1.00	0.66	0.74
74	0.89	1.00	0.65	0.28
Mean	0.93	1.00	0.66	0.51

Table 2 Relative amplitude of the first
four Fourier harmonics for the
vertical component of Sq

Station		D.Lat.	R	d
Zone 1				
Nurmijarvi	NU	58.2	13	0.57
Lovö	LO	57.2	14	0.61
Moscow	MO	54.6	16	0.70
Helwan	HE	24.9	25	1.09
Zone 2				
Yakutsk	YA	62.6	9	0.39
Irkutsk	IR	56.5	10	0.43
Sakhalinsk	SA	41.5	13	0.57
Vladivostock	VL	40.0	13	0.57
Memambetsu	MT	37.4	12	0.52
Mizusawa	MZ	32.8	15	0.65
Kakioka	KA	30.1	23	1.00
Kanozan	KZ	28.9	24	1.04
Shimosato	SH	27.7	27	1.17
Kanoya	KY	26.0	26	1.13
Honolulu	HO	22.0	27	1.17
Guam	GU	6.5	17	0.74
Zone 3				
Fredericksburg	FR	54.4	16	0.70
Boulder	BO	50.4	20	0.87
Dallas	DA	44.0	18	0.78
Tucson	TU	40.3	24	1.04
San Juan	SJ	32.1	17	0.74

Table 3 Range of Sq of the vertical component in 1972

ところで、Matsushita and Maeda は I G Y の資料を用いて、Sq の詳細な解析を行なった。(1)。Matsushita and Maeda は世界の観測所を前述の三つの Zone にわけそれについて Sq の特徴を考察している。Fig. 1 の破線及び点線は同論文の Fig. 3 c を借用して画いたものである。すなわち、Fig. 1 の点線は同図の J months における Zone 2 での Z の diurnal term の振巾を転写したものである。また破線は同じく Zone 1 及び Zone 3 の diurnal term の振巾を平均して画いたものである。ただし、双方とも柿岡の

緯度での振巾を 1.00 として書いてある。

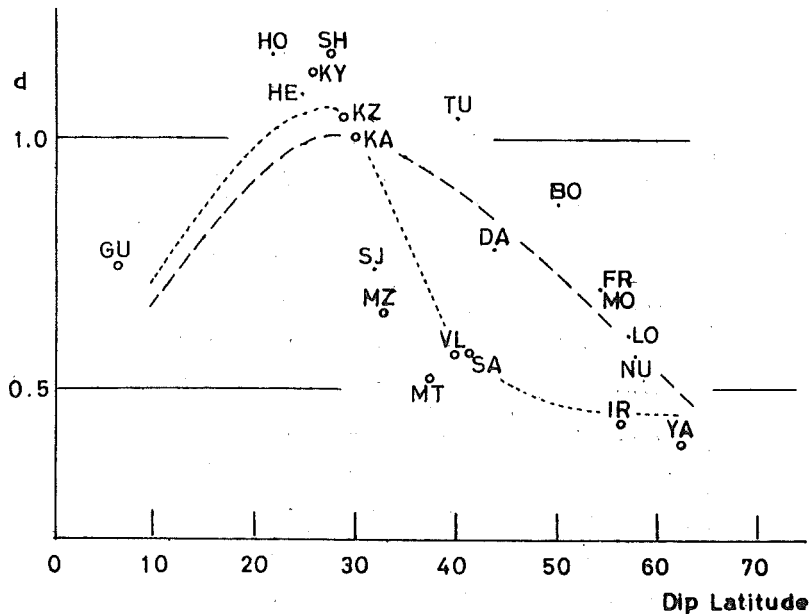


Fig.1 Distribution of relative range of Sq of the vertical component

○印や・印で示された観測所の資料は range の平均であり、破線や点線は diurnal term の振巾である。一方は 1972 年の資料から、他方は 1958 年のデータから得られたもので、それらを柿岡を 1.00 として重ねあわせてある。こうした事情にもかかわらず、Zone 2 の観測所の値はほぼ点線に並び、他の Zone のものは、破線の形をたどることが認められる。

Zone 1 や Zone 3 にも少なからず不規則性はある。たとえば Tucson と Dallas では、緯度の差にくらべて d の差は大きいではないかというような見方もあり得る。

しかし、ここで強調したいのは、Zone 1 及び Zone 3においては、多くの観測所のデータを用いれば、大局的には上に凸ななめらかなカーブになるに対して、Zone 1だけは、北緯 30° 近くから急減に転じ、明らかに下に凸なカーブを示すというてんである。両者は質的なかがいをうかがわせるものがある。

Matsushita and Maeda の論文でみると、J months だけではなく、その他の season についても、また diurnal term だけではなく、semi-diurnal term についても、同様のことがみとめられる。

Matsushita and Maeda の Zone 2 は東経 165 度から 285 度という広い範囲

を含むものとはいえる、北緯30度以北で用いた観測所は、Table 3に示したものの中で、IGY当時すでに活動していたものの他Sitka, Srednikanを加えたものである。したがってMatsushita and Maedaの図にみられるZone 2の特異性は、むしろ日本及びその北部周辺の特異性と言うべきであろう。

Sqのinducing fieldは P_2^1 , P_3^2 などの項が主で、induced fieldと合わせて、破線のような振巾分布を得るのが通常である。しかるに日本及びその北部周辺では地下の電気伝導度にいちぢるしい異常があるがために、同じ inducing fieldがかかっているにもかかわらず、点線のような結果を得ると解釈すべきであろう。

ここで inducing fieldが同じであると考えてよいかという批判もありうるが、もし点線のような分布が外部原因であるとするならば、Sqの電流系の中心が、極東に来た時にだけ、短波長成分（高次の項）の異常な卓越を考えねばならず、しかもそうしたことを毎度、安定的にくりかえすことを考えねばならず、不自然であると思う。内部原因によるものか否かの正確な判断はポテンシャルの内外部分離によりなされる。しかしそのためにはポテンシャルの分布を求めなければならず、1972年について現在までに集めたデータだけでは未だできない。それで(1)に与えられている Sq の Gauss 係数（年平均）を用いてポテンシャルの分布を求め、それを0.7倍したものを1972年における分布として用い、Zの分布は1972年について入手したデータで画いて、日本付近でZが極小をむかえる10時～11時（JST）において、ポテンシャルの内外部を求めてみた。もちろんこれは極めて大ざっぱな見つもりにすぎないが、柿岡及び女満別において $W(\text{内部})/W(\text{外部}) = 0.34$ を得た。このてんについては、将来より本格的な解析を報告したい。

Fig. 1の点線状の分布を内部原因とみるならば、日本北部及びその北部周辺の地下の電気伝導度がいちぢるしく大きいことを意味するであろう。それに対して、下里、鹿屋などのrangeが相対的に大きいことから、中部及び西部日本の南側では良導体層がおちこんでいるとも考えられる。短周期現象で確認されている日本の上部マントルの電気伝導度異常は、より深い根をもつのではないかと考えられる。

このような異常は海洋の影響によるものではないかという立場もある。たしかにそれは問題ではあるが、今の場合にはFig. 1のKY, SHからIR, YAに至るdの分布の異常は、海陸の分布をこえて広域的に一連の現象と考えられる。Vladivostokは異常の中央部にあり、Irkutskにおいてもなおその外延を認めることができると見るならば、これらの観測所は、外洋からはかなり遠く、あるいは完全に内陸に位置しているのであるから、やはり、海洋とは別の原因を考えさせるものがあるとみたい。

最後に Zone 3 (アメリカ帶)について一言したい。図では Dallas が破線に近く, Tucson, Boulder の d が, 破線の示すものよりかなり大きくなっている。また, San Juan において d は非常に小さい。これはまず, TU, BO が異常というよりも, 破線を柿岡において一致させて書いてあるためであろう。すなわち, 柿岡ですでに, 他の Zone に比べて range が小さいということかもしれない。そうだとすると, アメリカ帶では San Juan のみならず Dallas で range が異常に小さいということになる。ここにも, もう一つの Sq 異常があるのではないだろうか

Reference

- (1) S. Matsushita and H. Maeda, On the geomagnetic solar quiet daily variation field during the IGY, J. Geophys. Res., 70, 2535, 1965.